

## ФОРМИРОВАНИЕ ДИССИПАТИВНЫХ СТРУКТУР В АКУСТИЧЕСКОМ ПОЛЕ

*И.П. Завершинский, Е.Я. Коган, Н.Е. Молевич*

Рассмотрены неравновесные газовые и плазменные среды с отрицательной вязкостью. Такие релаксационные среды являются акустически неустойчивыми. Особенностью их нелинейной динамики является взрывной характер неустойчивости. Стабилизация этой неустойчивости описывается эволюционными уравнениями, полученными с точностью до величины третьего порядка малости по параметру диссипации. Исследованы стационарные структуры в колебательно-возбужденном газе и в токовой слабоионизованной плазме.

В термодинамически неравновесных средах в зависимости от типа и уровня неравновесности может выполняться релеевский критерий неустойчивости звука [1] – определенные фазовые соотношения между возмущением плотности газа и источника энергии, в качестве которого выступают релаксирующие в поле волны неравновесно-возбужденные степени свободы среды. Установление этих соотношений (положительной обратной связи) означает обращение (смену знака) коэффициента релаксационной вязкости [2–4].

Релаксационная вязкость  $\zeta$  характеризует диссипативные процессы, связанные с конечным временем установления параметров среды при сжатии или разрежении в звуковой волне. В общем случае для изотропной среды с линейной дисперсией вклад в релаксационную вязкость дают как пространственно-локальные процессы с конечным временем релаксации (вторая вязкость, излучательная теплопроводность [5]), так и нелокальные процессы (например, диффузия [6]).

Особенность нелинейных структур в активных средах с отрицательной релаксационной вязкостью состоит в том, что обычно их неустойчивость носит взрывной характер [2,7] и ее нельзя исследовать в режимах уравнений, полученных во втором порядке амплитудной теории возмущения, т.е. уравнений типа Бюргера или Кортевега – де Вриза – Бюргера.

В [4, 8–10] показано, что в случае одного релаксационного процесса с характерным временем  $\tau$  нелинейную динамику малых, но конечных газодинамических возмущений, можно описать с точностью до величин третьего порядка малости с помощью базовых уравнений, сохраняющих с точностью до обозначений свою форму независимо от типа неравновесности среды.

При  $\tau/\tilde{T} \sim \theta \ll 1$  или  $\tau/\tilde{T} \sim \theta^{-1} \gg 1$  ( $\tilde{T}^{-1} \sim \partial \ln p / \partial t$  – характерный период возмущения) эти уравнения соответственно имеют вид:

$$\rho_y = \beta_0 \rho_{\zeta\zeta\zeta} + \mu \rho_{\zeta\zeta} + k_1 \rho \rho_{\zeta\zeta} + k_2 \rho_{\zeta\zeta}^2 - \Psi_0 \rho \rho_{\zeta} + k_3 \rho_{\zeta}^3, \quad (1)$$

$$\rho_y = \beta_\infty \int \rho d\zeta + \mu_\infty \rho_{\zeta\zeta} + k_{1\infty} \rho \rho_{\zeta\zeta} + k_{2\infty} \rho_{\zeta\zeta}^2 - \Psi_\infty \rho \rho_\zeta + k_{3\infty} \rho_\zeta^3 - \Psi_\infty \alpha_\infty \rho_\zeta \int \rho d\zeta - \alpha_\infty U_\infty \rho - \nu \rho^2, \quad (2)$$

где  $\rho, \rho_0$  – возмущение плотности газа и ее стационарное значение ( $\rho/\rho_0 \sim \theta$ );  $y = \theta t$ ;  $\zeta = x - U_s t$ ;  $U_s$  – скорость звука, причем в (1)  $U_s = U_0$ , в (2)  $U_s = U_\infty$ ;  $U_0 = (T_0 C_{p0}/C_{v0} M)^{1/2}$  – скорость низкочастотного звука;  $U_\infty = (T_0 C_{p\infty}/C_{v\infty} M)^{1/2}$  – скорость высокочастотного звука;  $T_0$  – температура газа;  $M$  – молекулярная масса;  $C_{p0}, C_{p\infty}$  и  $C_{v0}, C_{v\infty}$  – теплоемкости при постоянном давлении и объеме в низкочастотном и высокочастотном пределе.

Для колебательно – возбужденного газа со степенью неравновесности  $S$  имеем

$$C_{p0} = C_{p\infty} + C_k + S/(\hat{\tau}_0 - \check{\tau}_0), \quad C_{v0} = C_{v\infty} + C_k + S \hat{\tau}_0.$$

Для среды с источником тепловыделения, мощность которого  $Q(T, \rho)$  [3]

$$C_{p0} = \check{Q} - \hat{Q}, \quad C_{v0} = -\hat{Q},$$

где  $A = \partial \ln \hat{A} / \partial \ln T_0$ ,  $\check{A} = \partial \ln A / \partial \ln \rho_0$  для любой величины  $A$  здесь и далее;  $C_k$  – колебательная теплоемкость;  $\beta_0, \beta_\infty$  – коэффициенты низкочастотной и высокочастотной дисперсии.

Коэффициенты вязкости в уравнениях (1) и (2) имеют стандартный вид:

$$\mu = [4\eta/3 + \varkappa(1/C_{v0} - 1/C_{p0}) + \zeta_0]/2\rho_0, \\ \mu_\infty = [4\eta/3 + \varkappa(1/C_{v\infty} - 1/C_{p\infty})]/2\rho_0,$$

где  $\eta, \varkappa$  – коэффициенты сдвиговой вязкости и теплопроводности.

Коэффициенты высокочастотной квадратичной и кубичной нелинейности имеют вид

$$\Psi_\infty = U_\infty (\gamma_\infty + 1)/2\rho_0, \quad k_{3\infty} = \Psi_\infty (1 - 0,5\Psi_\infty \rho_0/U_\infty)/3\rho_0,$$

где  $\gamma_\infty = C_{p\infty}/C_{v\infty}$ . Коэффициент диссипации (поглощения при  $\zeta_0 > 0$ , усиления при  $\zeta_0 < 0$ ) в высокочастотном пределе запишем как

$$\alpha_\infty = \zeta_0 C_{v0}^2 / 2C_{v\infty}^2 \tau^2 U_\infty^3 \rho_0,$$

где  $\zeta_0 = \rho_0 \tau (U_\infty^2 - U_0^2) C_{v0} / C_{v\infty}$  – низкочастотный коэффициент второй вязкости.

Коэффициенты  $k_1, k_2 \sim \mu$ ;  $k_{1\infty}, k_{2\infty} \sim \mu_\infty$ ;  $\nu \sim \zeta_0 / \tau_0^2$  – соответствуют нелинейной вязкости; коэффициенты  $\Psi_0, k_3$  зависят от степени неравновесности среды (в отличие от высокочастотных коэффициентов  $\Psi_\infty, k_{3\infty}$ ).

Уравнение (1), записанное для стационарных волн в автомодельной переменной ( $z = \zeta - Wy$ , где  $W$  – скорость волны), имеет достаточно простой вид [8]:

$$\rho_{zz} + (\mu/\beta + K_1 \rho) \rho_z + W\rho/\beta + K_2 \rho^2 + K_3 \rho^3 = 0, \quad (3)$$

где  $K_1 = 2k_1/\beta$ ;  $K_2 = -\Psi_0/2\beta - k_1W/2\beta\mu \approx -\Psi_0/2\beta$ ;  $K_3 = (k_3 + \Psi_0k_1/3\mu)/\beta$ . Оно аналогично уравнению движения частицы в потенциальном поле  $\Pi = W\rho^2/2\beta + K_2\rho^3/3 + K_3\rho^4/4$  при наличии нелинейного трения  $f = (\mu/\beta + K_1\rho)$ . Вид потенциала  $\Pi$  и коэффициента нелинейного трения  $f$  зависит от характера и степени неравновесности. Например, в условиях, рассмотренных в работе [8], в смеси атмосферного давления  $\text{CO}_2 : \text{N}_2 : \text{He} = 1 : 2 : 3$ , при  $E = 0.01$  Дж/см<sup>3</sup> ( $S \sim 0.1$ ), где  $E$  – удельный энерговклад в колебательные степени свободы,  $\mu < 0$ ,  $\beta < 0$ ,  $\Psi_0 > 0$ ,  $K_1 < 0$ ,  $K_2 > 0$ ,  $K_3 > 0$ . Коэффициент нелинейного трения при этом знакопеременен, а зависимость потенциала от нормированного возмущения плотности газа приведена на рис. 1.

Исследуем решение (3) на фазовой плоскости ( $\bar{X}_z = \rho_0^{-1}d\rho/dz$ ,  $\bar{X} = \rho/\rho_0$ ), ограничиваясь возмущениями сжатия ( $\rho > 0$ ). Вклад в потенциал слагаемого с коэффициентом  $K_3 > 0$  несуществен и минимуму потенциала соответствует  $\bar{X} = X_0 \approx W/\rho_0|\beta|K_2$ .

Если  $X_0 < X_{кр} - X^*$ , где  $X_{кр} = -\mu/\beta K_1\rho_0$ ,  $X^* = 2(W|\beta|)^{1/2}/K_1\beta\rho_0$ , трение положительно в пределах потенциальной ямы и «частица» падает на дно ямы ( $\bar{X} = X_0$ ). График стационарного решения, соответствующего такому движению «частицы», приведен на рис. 2, а (кривая 1). Оно аналогично неустойчивому стационарному решению,

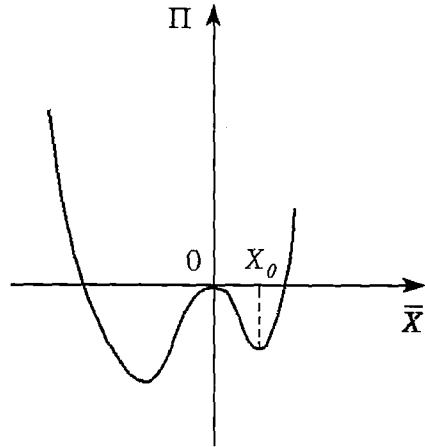


Рис. 1

полученному для уравнения Бюргерса с  $\mu < 0$  [7]. Если  $X_{кр} - X^* < X_0 < X_{кр}$ , то падение частицы на дно ямы сопровождается осцилляциями (рис. 2, а, кривая 2). Стационарное решение тоже неустойчиво. Для скоростей волны  $W$  таких, что  $X_0 > X_{кр}$ , трение  $f$  становится знакопеременным. Это сопровождается появлением на фазовой плоскости предельного цикла и соответствующего ему автоколебательного режима.

С ростом  $W$  цикл приближается к сепаратрисе, а вид стационарных волн – к кноидальным волнам (рис. 2, б, кривая 1). При некотором значении  $W = W_c$  (аналитически  $W_c$  определить не удастся) рождается сепаратриса и возможно существование уединенной несимметричной волны с амплитудой  $\bar{X} \approx 1.5X_0$  (рис. 2, б, кривая 2).

Асимметрия уединенной волны следует из асимптотик уравнения (3) ( $\rho(z \rightarrow \infty) \sim \exp \lambda_1 z$ ,  $\rho(z \rightarrow -\infty) \sim \exp \lambda_2 z$ ):

$$\lambda_{1,2} = -\frac{\mu}{2\beta} \pm \sqrt{\frac{\mu^2}{4\beta^2} + \frac{W}{|\beta|}}. \quad (4)$$

Так как  $\lambda_2 < |\lambda_1|$ , то передний фронт волны будет более крутым.

При дальнейшем увеличении  $W$  происходит разрушение сепаратрисы и появление фазовой траектории, соответствующей ударной волне с амплитудой  $X_0$  и осцилляциями на фронте (рис. 2, в, кривая 1). Наконец, при еще больших скоростях, когда  $X_0 > X_{кр} + X^*$  (в указанной смеси при  $W > 0.6$ ), фронт ударной

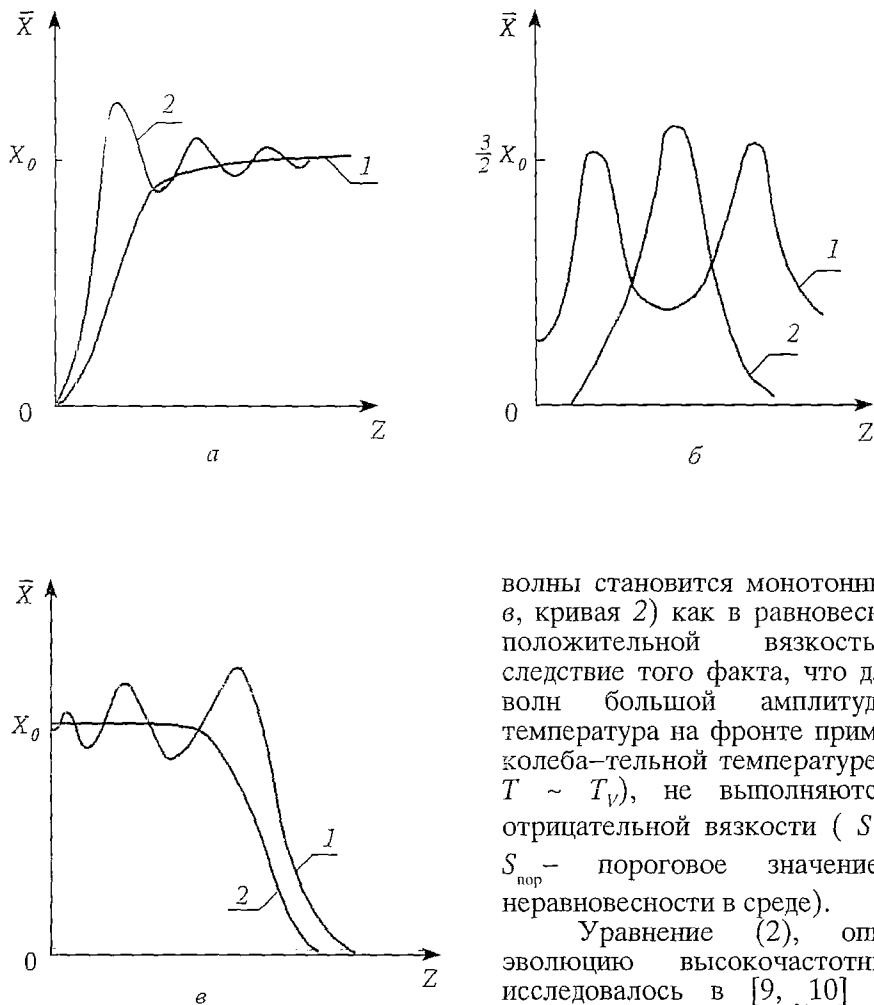


Рис. 2

вязкость и диссипацию, с точностью до величин третьего порядка малости можно пренебречь. Стационарные высокочастотные волны при  $\zeta_0 < 0$  описываются уравнением типа Ван-дер-Поля:

$$\mu_\infty \rho_{zz} + (W + K_{2\infty} \rho + K_{3\infty} \rho^2) \rho_z + i\alpha_\infty |U_\infty \rho = 0 \quad (5)$$

где  $K_{2\infty} = \Psi_\infty (1 - 1.5W/U_\infty) \approx \Psi_\infty$ ;  $K_{3\infty} = K_3(S=0, C_k=0) = -U_\infty (\gamma_\infty^2 - 1)/4\rho_0^2$ .

Заметим, что коэффициент  $K_{3\infty}$  не зависит от  $\mu_\infty$ . Однако для получения однозначного вида кубичной нелинейности формально необходимо удерживать даже малые слагаемые с нелинейной вязкостью [11].

До сих пор исследовались среды с одним релаксационным процессом. Можно ли уравнения (1), (2) применять при исследовании нелинейной динамики такой многопараметрической среды, какой является плазма?

В [12] подробно исследована акустическая неустойчивость частично ионизованной атомарной плазмы, найдена вторая вязкость и условия ее обращения в различных режимах. Опираясь на эти результаты, рассмотрим механизмы формирования плазменно-акустических структур.

Будем описывать динамику атомарного частично ионизованного газа в постоянном электрическом поле в следующей модели:

$$\partial n_e / \partial t + \operatorname{div}(n_e V_e) = K_i n_e N - K_r n_e^2, \quad (6)$$

$$1.5 \partial(n_e T_e) / \partial t + 1.5 V_e \nabla(n_e T_e) + 2.5 n_e T_e \operatorname{div} V_e = j_e E - 1.5 n_e \delta v_e T_e + \alpha_e \Delta T_e, \quad (7)$$

$$\operatorname{div} j = 0, \quad (8)$$

$$\frac{\partial \rho}{\partial t} + \operatorname{div}(\rho V) = 0 \quad (9)$$

$$\rho \partial V / \partial t + (V \nabla) V = -\nabla P - \nabla(n_e T_e) + \eta \Delta V + \eta \nabla \operatorname{div} V / 3, \quad (10)$$

$$C_{v\infty} \rho dT/dt - T d\rho/dt = 1.5 n_e \delta^y v_e T_e M - I + M \alpha \Delta T + \eta M \partial V^i / \partial x_k [\partial V^i / \partial x_k + \partial V^k / \partial x_i] + (2/3) \delta_{ik} \partial V^i / \partial x_j, \quad (11)$$

$$P = \rho T / M, \quad (12)$$

где  $n_e$  – плотность электронов;  $V_{e,i}$  – скорости электронов и ионов;  $K_i$ ,  $K_r$  – константы скорости рекомбинации и ионизации;  $T_e$  – температура электронов;  $j_e = -en_e V_e$  – электронная компонента тока;  $E$  – напряженность электрического поля;  $\delta$  – коэффициент передачи электронной энергии;  $v_e$  – частота электрон-нейтральных соударений;  $\alpha_e$  – коэффициент электронной теплопроводности;  $j = -en_e V_e + en_e V^i$  – плотность тока;  $V$  – скорость нейтральной компоненты;  $V^i$ ,  $V^k$  – компоненты вектора  $V$ ;  $x_i$ ,  $x_k$  – компоненты радиус-вектора  $R$ ;  $\delta_{ik}$  – символ Кронекера;  $\delta^y = 2m/M$  ( $m$  – масса электрона);  $I$  – мощность теплоотвода (для простоты полагалось, что  $I$  не зависит от  $\rho$ ,  $T$ ).

Введем параметр  $\eta_e = n_e M / \rho$  – степень ионизации плазмы и далее используем условия  $S_e = T_e / T_0 \gg 1$ ,  $S_e \eta_e \ll 1$ , характерные для слабоионизованной плазмы тлеющего разряда.

Приведенная модель использовалась при изучении акустической устойчивости плазмы в [12]. Согласно этой модели в атомарной плазме можно выделить следующие степени свободы, время релаксации которых  $\tau_i$  имеет масштаб примерно равный  $\omega^{-1}$  ( $\omega$  – частота акустических волн): трансляционную энергию электронов, степень ионизации  $\eta_e$  и джоулевый нагрев газа. Релаксация этих параметров формирует эффективные релаксационные вязкость, дисперсию, нелинейность, а также характерные соответствующие им релаксационные времена:  $\tau_T = (\delta v_e)^{-1}$  – время передачи энергии электронов при соударениях,  $\tau_r = (K_r n_e)^{-1}$  – время диссоциативной рекомбинации как масштаб времени релаксации степени ионизации,  $\tau_n = \delta^y S_e \eta_e / \delta \tau_T$  – время нагрева газа.

Ограничимся случаем, когда нет процессов с  $\tau / \tilde{T} \sim 1$ , т.е.  $\tau_i / \tilde{T} \sim (\tau_i / T)^{-1} \sim \theta \ll 1$ , где  $i$  – нумерует низкочастотные процессы,  $j$  – высокочастотные. В этих условиях можно ввести низкочастотный  $\alpha_0$  и высокочастотный  $\alpha_\infty$  коэффициенты диссипации [12], представляющие собой сумму коэффициентов, каждый из которых обусловлен релаксационной вязкостью, задаваемой конкретным механизмом. Среды с многопараметрической релаксацией при  $\tau / \tilde{T} \sim 1$  рассмотрены в [4], где показано, что коэффициенты диссипации и релаксационной вязкости теряют свойство аддитивности.

Представим возмущения параметров плазмы и газа в акустической волне в таком виде:

$$\rho = \theta \rho^{(1)} + \theta^2 \rho^{(2)}, \quad n_e = \theta n_e^{(1)} + \theta^2 n_e^{(2)}, \quad (13)$$

аналогично – для возмущений всех других параметров газа и плазмы.

Связи между величинами первого порядка следуют из линеаризованной модели (6)–(12):

$$\begin{aligned} \nabla^{(1)}/U_\infty &= \rho^{(1)}/\rho_0; \quad P^{(1)}/P_0 = \gamma_\infty \rho^{(1)}/\rho_0; \\ \frac{T_e^{(1)}}{T_{e0}} &= \begin{cases} 0 & \tau_r/\tilde{T} \gg 1 \\ -2\rho^{(1)}/\rho_0 B, & \tau_r/\tilde{T} \ll 1, \tau_r/\tilde{T} \gg 1 \\ -2\rho^{(1)}/(B + 2\bar{K}_i \cos^2 \varphi) \rho_0; & \tau_r/\tilde{T} \ll 1, \tau_r/\tilde{T} \ll 1 \end{cases} \\ \frac{n_e^{(1)}}{n_{e0}} &= \begin{cases} \rho^{(1)}/\rho_0, & \tau_r/\tilde{T} \gg 1 \\ \rho^{(1)}/\rho_0, & \tau_r/\tilde{T} \ll 1, \tau_r/\tilde{T} \gg 1 \\ \frac{\rho^{(1)}[B + 2\bar{K}_i(\cos^2 \varphi - 1)]}{\rho_0(B + 2\bar{K}_i \cos^2 \varphi)}, & \tau_r/\tilde{T} \ll 1, \tau_r/\tilde{T} \ll 1 \end{cases} \end{aligned}$$

где  $B = 1 + \bar{\delta} v_e + (1 - 2\cos^2 \varphi) \bar{v}_e$ ,  $\varphi$  – угол между направлением распространения возмущения и скорости электронного дрейфа  $V_{e0}$ ; для любого  $A$  обозначено  $\bar{A} = \partial \ln A / \partial \ln T_{e0}$ . Ниже будем рассматривать возмущения распространяющиеся только вдоль электронного дрейфа ( $\varphi = 0$ ), тогда систему уравнений (6) – (12) можно переписать в одномерном виде для пространственной переменной  $x$ .

Подставляя (13) в эту одномерную систему и используя связи между величинами первого порядка, получим с помощью метода медленно изменяющегося профиля (метод Хохлова) в системе координат  $y = \theta t$ ,  $\zeta = x - U_s t$  уравнение с точностью до величин  $\sim \theta^2$

$$\rho_y = \mu \rho_{\zeta\zeta} - \Psi_\infty \rho \rho_\zeta - \alpha_\infty U_\infty \rho. \quad (14)$$

Здесь  $\Psi_\infty$  совпадает с коэффициентом в формуле (2), в величину  $\mu$  дают вклад все релаксационные процессы с  $\tau_j/\tilde{T} \sim \theta$ ,

$$\mu = [4\eta/3 + \alpha(1/C_{V_\infty} - 1/C_{p_\infty})]/2\rho_0 + \sum_i \mu^i_{ik},$$

а в  $\alpha_\infty$  – все релаксационные процессы с характерными временами  $\tau_j/\tilde{T} \sim \theta^{-1}$ ,

$$\alpha_\infty = \sum_j \alpha_\infty^{sj}_{ln},$$

$$\text{где } \mu^i_{ik} = \frac{\tau_i C_{Vi}}{2C_{Vk}} (U_{sl}^2 - U_{sk}^2), \quad \alpha_\infty^{sj}_{ln} = \frac{\mu^j_{ln} C_{Vn}^2}{\tau_j^2 U_{sl}^3 C_{Vi}^2}, \quad U_{sl} = (C_{pl} T_0 / C_{Vl} M)^{1/2}.$$

Значения этих коэффициентов в различных режимах существования слабоионизованной плазмы получены в [12].

Знаки коэффициентов  $\mu$  и  $\alpha_\infty$  зависят от параметров плазмы и спектра газодинамического возмущения, обуславливая различные возможные решения уравнения (14).

При  $\alpha_\infty = 0$  уравнение (14) суть уравнения Бюргерса. Оно описывает затухание газодинамического возмущения конечной площади при  $M > 0$  и его коллапс при  $\mu < 0$  [2, 7].

При  $\alpha_\infty \neq 0$  уравнение (14) является уравнением Бюргерса с источником. Если  $\mu > 0$ ,  $\alpha_\infty > 0$ , газодинамическое возмущение затухает, при  $\mu < 0$ ,  $\alpha_\infty < 0$  – неограниченно нарастает.

Широко исследовался случай, когда  $\mu > 0$ ,  $\alpha_\infty < 0$ . Согласно [13] при таких

знаках коэффициентов диссипации уравнение (14) является эталонным в теории активных сред. Оно было получено, например, в химически активной среде [14], колебательно-возбужденном газе [8], в средах с произвольным источником тепловыделения, мощность которого зависит от плотности [10].

В [13] показано, что ограниченные стационарные решения уравнения (14) при  $\mu > 0$ ,  $\alpha_\infty < 0$  обязательно периодические. Нестационарные периодические волны в такой среде затухают при  $\tilde{T}^{-1} > (\alpha_\infty U_\infty^3/\mu)^{1/2}$  и нарастают до конечной амплитуды при  $\tilde{T}^{-1} < (\alpha_\infty U_\infty^3/\mu)^{1/2}$ . При  $\tilde{T}^{-1} \ll (\alpha_\infty U_\infty^3/\mu)^{1/2}$  это нарастание, связанное с инкрементом  $\alpha_\infty$ , приводит к сильному искажению профиля волны, вплоть до образования крутых фронтов, где уже существенна диссипация, определяемая коэффициентом  $\mu$ . В результате диссипации энергии на фронте происходит стабилизация профиля – установление стационарной нелинейной пилообразной волны с безразмерной амплитудой  $X_0 \sim \pi \alpha_\infty U_\infty \tilde{T}$  и шириной фронта, пропорциональной  $\mu/X_0 U_s$ . В пределах применимости уравнения (14) стационарная волна распространяется только со скоростью звука ( $W=0$ ), причем эта волна оказывается неустойчивой по отношению к длинноволновым возмущениям, приводящим к установлению волны с максимально возможным периодом. Согласно [13] в реальной ситуации этот период может определяться как начальными, так и граничными условиями. Заметим, что для таких длинноволновых возмущений ( $\tau_j/\tilde{T} \leq 1$ ) отрицательная релаксационная вязкость будет давать вклад уже не в  $\alpha_\infty$ , а в  $\mu$  и при  $\mu < 0$  устойчивых стационарных волн вообще не будет. Насыщение неустойчивости при  $\mu < 0$  возможно в следующем приближении теории возмущения, учитывающем нелинейность вязкости и кубичную нелинейность. Этот учет приводит к уравнению типа (1), подробно рассмотренному выше.

При  $W \neq 0$ ,  $\mu > 0$ ,  $\alpha < 0$  возмущения, описываемые уравнением (14), будут неограниченно возрастать и необходимо учитывать величины более высокого порядка малости.

Согласно [12] основной вклад в акустический коэффициент усиления в слабоионизованной плазме вносит джоулевый нагрев с характерным временем  $\tau_H$ . Для простоты изложения будем полагать:  $(\tau_r/\tilde{T})^{-1} \sim \theta^2$ ;  $\eta, \alpha \sim \theta^2$ ;  $\tau_r/\tilde{T} \sim \theta^2$ ;  $(\tau_H/\tilde{T})^{-1} \sim \theta$ ;  $\rho/\rho_0 \sim \theta$ .

В этом случае с точностью до величин  $\sim \theta^3$  диссипация, связанная с релаксацией степени ионизации, электронной температуры, сдвиговой вязкостью и теплопроводностью, будет по-прежнему линейной, а диссипация, связанная с релаксацией источника (джоулевый нагрев), – нелинейной.

Подставим в уравнения (6) – (12) возмущения в виде

$$\rho = \theta \rho^{(1)} + \theta^2 \rho^{(2)} + \theta^3 \rho^{(3)}, \quad (15)$$

$$n_e = \theta n_e^{(1)} + \theta^2 n_e^{(2)} + \theta^3 n_e^{(3)} \text{ и т.д.}$$

Связи между величинами второго порядка малости в координатах  $y = \theta t$ ,  $\zeta = x - U_\infty t$ , следующие из исходной системы уравнений, имеют в указанных пределах вид

$$\begin{aligned} \frac{V^{(2)}}{U_\infty} &= \frac{\rho^{(2)}}{\rho_0} + \frac{\alpha_\infty}{\rho_0} \int \rho^{(1)} d\zeta - \frac{(1 - \Psi_\infty \rho_0/2U_\infty) \rho^{(1)2}}{\rho_0^2}, \\ \frac{P^{(2)}}{P_0} &= \frac{U_\infty^2 \rho^{(2)}}{P_0} + \frac{2\alpha_\infty U_\infty^2}{P_0} \int \rho^{(1)} d\zeta - \left(1 - \frac{\Psi_\infty \rho_\infty}{U_\infty}\right) \frac{U_\infty^2}{P_0 \rho_0} \rho^{(1)2}, \end{aligned} \quad (16)$$

$$\frac{n_e^{(2)}}{n_{e0}} = \frac{\rho^{(2)}}{\rho_0}, \quad \frac{T_e^{(2)}}{T_{e0}} = -\frac{2\rho^{(2)}}{B\rho_0} + \left[ 4\frac{(\bar{\bar{v}}_e - \delta\bar{v}_e - \bar{\bar{\delta}}\bar{v}_e)}{B^3} - \frac{1}{B} + \frac{4(1 + \delta\bar{v}_e)}{B} \right] \frac{\rho^{(1)2}}{\rho_0^2}.$$

После подстановки этих соотношений в исходную систему уравнений с помощью стандартных преобразований получим с точностью до величин  $\sim\theta^3$  следующее уравнение, описывающее эволюцию волн плотности

$$\rho_y = \beta_\infty \int \rho d\zeta + \mu \rho_{\zeta\zeta} - \Psi_\infty \rho \rho_\zeta + k_{3\infty} \rho_\zeta^3 - \Psi_\infty \alpha_\infty \rho_\zeta \int \rho d\zeta - \alpha_\infty U_\infty \rho - \nu \rho^2, \quad (17)$$

где  $\beta_\infty = 1.5\alpha_\infty^2 U_\infty$ ,  $\mu = (4\eta/3 + \varkappa/C_{v\infty} C_{p\infty})/2\rho_0 + \mu_{2r}^T$ .

В обычных экспериментальных условиях слабоионизованной плазмы  $\mu > 0$ ;  $\alpha_\infty = \alpha_\infty^{or} + \alpha_\infty^{oh}$  (значения коэффициентов, условия их обращения найдены в [12]),

$$\nu = (-5\Psi_\infty/4 + 2U_\infty/\rho_0)\alpha_\infty^{oh} - \{(1 + \bar{v}_e)[-3/B + 4(\bar{\bar{v}}_e - \delta\bar{v}_e - \bar{\delta}\bar{v}_e)/B^3 + 4/B^2 + 4\delta\bar{v}_e/B^2] + 4(\bar{\bar{v}}_e + \bar{v}_e)/B^2\}/2\tau_\eta C_{p\infty} \rho_0;$$

$\bar{\bar{A}} = T_e^2(\partial^2 A/\partial T_e^2)/2A$  для любой величины  $A$ . Остальные коэффициенты совпадают при  $S_e \eta_e \ll 1$  с соответствующими коэффициентами в уравнении (2).

Уравнение (17) значительно упрощается при  $B = 2(1 + \bar{v}_e) \pm \theta$ . Тогда  $\alpha_\infty \sim \theta^2$  и интегральными слагаемыми можно пренебречь. Стационарная форма этого уравнения такова:

$$\mu \rho_{zz} + (W - \Psi_\infty \rho + 3K_{3\infty} \rho^2) \rho_z - \alpha_\infty U_\infty \rho - \nu \rho^2 = 0, \quad (18)$$

где  $z = x - Wy$ ,  $K_{3\infty} \approx -U_\infty(\gamma_\infty^2 - 1)/4\rho_0^2$  как и в (5) (при нахождении  $K_{3\infty}$  учтено замечание, сделанное после уравнения (5)).

В акустически неустойчивой по линейному приближению среде  $\alpha_\infty < 0$ , а коэффициент нелинейной диссипации может быть как отрицательным (нелинейное усиление), так и положительным (нелинейное поглощение).

При  $\alpha_\infty < 0$ ,  $\nu < 0$  уравнение (18) является уравнением Ван-дер-Поля с кубическим потенциалом и при  $W > 0$  возможно существование предельного цикла и соответствующего ему автоколебательного режима.

При  $\alpha_\infty < 0$ ,  $\nu > 0$  уравнение (18) на фазовой плоскости  $(\bar{X}_z, \bar{X} = \rho/\rho_0)$  имеет две особые точки:  $(0,0)$  и  $(0, |\alpha_\infty| U_\infty/\nu \rho_0)$ . Вторая точка всегда седло, а тип первой определяется величиной параметра  $W$  (скоростью стационарной волны). При  $W = 0$  это – центр и стационарные волны аналогичны получаемым на основе уравнения (14) волнам, распространяющимся со скоростью звука. Наличие нелинейного поглощения с коэффициентом  $\nu$  приводит к появлению стационарных структур иного вида. При  $0 < W < 2\sqrt{|\alpha_\infty| U_\infty}$  особая точка  $(0,0)$  является устойчивым фокусом, а при  $W > 2\sqrt{|\alpha_\infty| U_\infty}$  – устойчивым узлом. Соответствующие структуры имеют вид ударных волн с осцилляциями на фронте в первом случае и монотонным фронтом – во втором. Амплитуда  $\rho$  ударной волны в плазме равна  $|\alpha_\infty| U_\infty/\nu$  в отличие от амплитуды слабой ударной волны в газе, пропорциональной  $2W/\Psi_\infty$ .

Акустическая устойчивость плазмы относительно волн бесконечно малой амплитуды не означает того же для волн конечной амплитуды. Затухание звука в линейном приближении ( $\alpha_\infty > 0$ ) и неустойчивость в нелинейном ( $\nu < 0$ ) возможны, так как с ростом глубины модуляции плотности нейтральной компоненты плазмы растет степень сфазированности возмущений  $T_e$  и  $\rho$ , т.е. уменьшается отрицательная обратная связь между ними. Это, в свою очередь, объясняется тем,



что с ростом глубины модуляции (амплитуды волны) существенными становятся эффекты расширения локально нагретых областей плазмы в минимумах плотности газа. Эти эффекты расширяют область акустической неустойчивости плазмы.

При  $\alpha_{\infty} > 0, \nu < 0$  решением уравнения (18) являются в области  $\rho > 0$  структуры, аналогичные структурам исследуемого уравнения (3), поскольку слагаемые с коэффициентом  $K_{3\infty} < 0$  не играют в уравнениях (3) и (18) определяющей роли. Поправки, связанные с ними, легко учесть. Если ими пренебречь, можно воспользоваться результатами уже проведенного анализа (см. рис.2), имея ввиду теперь, что  $X_0 \equiv |\alpha_{\infty}| U_{\infty} / \rho_0 \nu$ ,  $X_{кр} \equiv W / \Psi_{\infty} \rho_0$ ,  $X^* \equiv 2\sqrt{\alpha_{\infty} U_{\infty} \mu} / \Psi_{\infty} \rho_0$ .

Несмотря на структурное сходство уравнений (3) и (18), динамика волн, ими определяемая, совершенно различна. Обратим внимание на два важных отличия. Во-первых, при условиях, сформулированных для уравнения (3), существование ударной волны возможно лишь при достаточно больших ее скоростях, что объясняется нелинейным «насыщением» отрицательной второй вязкости. Согласно уравнению (18) при  $\alpha_{\infty} > 0, \nu < 0$  ударная волна возможна, наоборот, лишь при достаточно малых скоростях, когда еще не существенно нелинейное усиление. Во-вторых, амплитуда ударной волны и солитона в условиях уравнения (3) пропорциональна, как и в равновесном газе, скорости волны. При условиях, сформулированных для уравнения (18), плазменно-акустическая волна имеет амплитуду  $\sim U_{\infty} \alpha_{\infty} / |\nu|$ , не зависящую от  $W$ . Скорость ее выступает только как бифуркационный параметр.

В заключение еще раз подчеркнем, что введение в явном виде релаксационной вязкости позволит осуществить единый подход к широкому классу неравновесных сред, включая плазму, лазерные и химически активные смеси и т.д. Этот прием удобен как для описания неустойчивости подобных сред, так и для исследования нелинейной эволюции волн на основе единого вида уравнений с сохранением прозрачной физической трактовки решений.

## Библиографический список

1. Стретт Дж.В. (лорд Релей). Теория звука. М.: ГИТЛ, 1955. Т.2.
2. Коган Е.Я., Молевич Н.Е. Коллапс акустических волн в неравновесном молекулярном газе //ЖТФ. 1986. Т.56, № 5. С. 941.
3. Молевич Н.Е., Ораевский А.Н. Вторая вязкость в термодинамически неравновесных средах // ЖЭТФ. 1988. Т. 94, № 3. С. 128.
4. Молевич Н.Е., Ораевский А.Н. Препринт ФИАН СССР №106. 1990.
5. Исакович М.А. Общая акустика. М.: Наука, 1973.
6. Завершинский И.П., Коган Е.Я., Молевич Н.Е. О механизме усиления звука в слабоионизированном газе // ЖЭТФ. 1991. Т. 100, № 2(8). С. 422.
7. Пелиновский Е.Н., Фридман В.Е. Взрывная неустойчивость нелинейных волн в средах с отрицательной вязкостью // Прикладная математика и механика. 1974. Т. 38, № 6. С. 991.
8. Коган Е.Я., Молевич Н.Е., Ораевский А.Н. Структура нелинейных акустических волн в неравновесном колебательно-возбужденном газе //Письма ЖТФ. 1987. Т. 13, № 14. С. 836.
9. Молевич Н.Е. //Сибирский физико-технический журнал. 1991. № 1. С. 133.
10. Молевич Н.Е. Волны в средах с отрицательной второй вязкостью. Дис. ... канд. физ.-мат. наук / ФИАН СССР. М., 1987.
11. Руденко О.В., Солуян С.И. Теоретические основы нелинейной акустики, М.: Наука, 1975.
12. Завершинский И.П., Коган Е.Я., Молевич Н.Е. Акустические волны в частично ионизированном газе //Акустический журнал. 1992. Т. 38, № 4. С. 702.
13. Рабинович М.И., Фабрикант А.Л. // Изв. вузов СССР. Сер. Радиофизика. 1976. Т. 19. С. 721.

Самарский государственный  
педагогический институт

Поступила в редакцию 29.03.92  
после переработки 25.03.93

## THE FORMATION OF DISSIPATIVE STRUCTURES IN THE ACOUSTIC FIELD

*I.P. Zavershinski, E.Ya. Kogan, N.E. Molevich*

A theory describing the formation of plasma-acoustic structures in a non-equilibrium plasma has been built. The community of the evolutionary equations in relaxing gas media and in plasma has been shown. The investigation of non-linear dynamics of non-equilibrium gas and plasma media is made on the ground of these basic equations.



*Завершинский Игорь Петрович* – родился в 1963 году, окончил Куйбышевский государственный университет (1985). Защитил диссертацию на соискание ученой степени кандидата физико-математических наук по физике волновых процессов в плазме (1990). В настоящее время работает старшим преподавателем на кафедре общей физики в Самарском педагогическом институте. Область научных интересов – нелинейная акустика, физика низкотемпературной плазмы. Автор более 10 статей по направлениям, указанным выше.



*Коган Ефим Яковлевич* – родился в 1940 году. В 1963 году окончил Полтавский строительный институт. В 1970 году защитил диссертацию на соискание ученой степени кандидата физико-математических наук в Харьковском университете по физике плазмы. В 1985 году в Институте высоких температур Академии наук защитил диссертацию на соискание ученой степени доктора физико-математических наук. В настоящее время заведует кафедрой физики в Самарском педагогическом институте, профессор. Область научных интересов нелинейная физика стохастических явлений в динамических системах. Имеет свыше ста работ по взаимодействию частиц с поверхностью, циклы работ по элементарным процессам в турбулентной плазме и по нелинейной акустике сильно неравновесных сред.



*Молевич Нонна Евгеньевна* – родилась в 1959 году, окончила в 1982 году Московский инженерно-физический институт. В 1989 году защитила диссертацию на соискание ученой степени кандидата физико-математических наук в Физическом институте Академии наук. В настоящее время работает старшим преподавателем в Самарском педагогическом институте. Область научных интересов акустика неравновесных, химически активных сред, физика плазменных сред. Опубликовала более 60 статей и докладов, в том числе и на международных конференциях.